

# 变截面“Y”型流管无阀压电泵原理及试验<sup>\*</sup>

黄俊<sup>1</sup>, 张建辉<sup>1</sup>, 王守印<sup>2</sup>

(1. 南京航空航天大学机械结构力学及控制国家重点实验室 南京, 210016)

(2. 中国科学院长春光学精密机械与物理研究所 长春, 130033)

**摘要** 根据三通全扩散/收缩流管的结构形式,设计了一种无阀压电泵——变截面“Y”型流管无阀压电泵。首先,分析了变截面“Y”型流管无阀压电泵的工作原理;然后,对变截面“Y”型流管流阻和泵流量进行理论分析,对变截面“Y”型流管进行模拟,得到流管正反向压强损失系数;最后,制作变截面“Y”型流管无阀压电泵样机,并进行流量试验。试验表明:当驱动电压为100 V、驱动频率为12.4 Hz时,流量达到最大,为25.7 ml/min;使用定频12.4 Hz改变电压,当电压为200 V时,最大流量达到41.6 ml/min。该组试验证明了变截面“Y”型流管无阀压电泵的有效性。

**关键词** 压电; 泵; 无阀; 变截面“Y”型流管

**中图分类号** TH38

## 引言

将具有逆压电效应的压电振子作为驱动源,由具有正反向流阻不同特性的异型结构流管作为阀,以驱动流体做宏观上单向流动的无阀压电泵。因其结构简单、加工方便和易于微小化等优点,吸引了众多研究者的青睐<sup>[1-11]</sup>。

目前,多种结构形式的无阀压电泵应用于生物、医疗和卫生等领域。Stemme等<sup>[3]</sup>设计了圆锥形流管无阀压电泵。Gerlach<sup>[4]</sup>设计了方锥形流管无阀压电泵,锥形流管结构简单、易于加工,但会产生大范围的涡旋。Foster等<sup>[5]</sup>利用Tesla阀设计了双环管无阀压电泵,但该流管结构复杂,沿程损耗大。张建辉等<sup>[6]</sup>发明了“Y”型流管,并设计了“Y”型流管无阀压电泵,其结构简单,内部涡旋范围小,但泵流量较小。夏齐霄等<sup>[7-10]</sup>设计了非对称坡面腔底无阀压电泵,该泵结构紧凑,易于微型化、集成化,但非对称坡面腔底的存在增加了泵腔内部涡旋范围,不利于在生物、医疗领域应用。何秀华等<sup>[11]</sup>提出了三通全扩散/收缩管,利用有限元软件对其进行了数值分析。

可见,各类无阀压电泵在生物、医疗和卫生等领域均有优缺点,为了抑制大涡旋的缺点并发挥大流量的优点,笔者根据三通全扩散/收缩流管的结构形

式,设计了一种变截面“Y”型流管无阀压电泵。首先,分析变截面“Y”型流管无阀压电泵的工作原理;然后,对变截面“Y”型流管流阻和泵流量进行理论分析,对变截面“Y”型流管进行模拟,得到流管正反向流阻;最后,制作变截面“Y”型流管无阀压电泵样机并进行流量试验,以证明该原理的可行性。

## 1 泵结构与工作原理

变截面“Y”型流管是由一支合管及两支完全相同的支管组成。流管的3支管皆为方形锥形管,两支管1,2与合管3呈中心对称分布,支管1,2的几何参数完全相同,如图1所示。设合管3扩散角为 $\alpha$ ,正向入口宽为 $a$ ,长为 $l$ ;两支管的扩散角为 $\beta$ ,正向出口宽为 $b$ ,夹角为 $2\theta$ ;整管长为 $L$ ,整管的高度为 $h$ 。

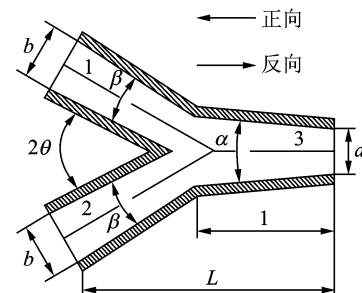


图1 变截面“Y”型流管结构图

Fig. 1 Variable cross section Y-shape tube

\* 国家自然科学基金资助项目(51075201, 51275235)

收稿日期:2012-12-27;修回日期:2013-01-15

变截面“Y”型流管无阀压电泵主要由压电振子、泵体及一对变截面“Y”型流管组成,如图2所示。

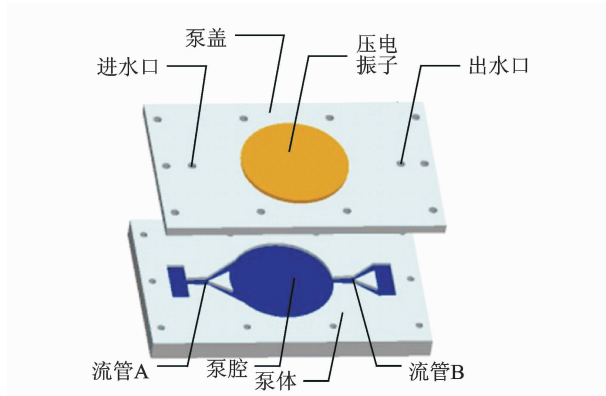


图2 变截面“Y”型流管无阀压电泵结构图

Fig. 2 Valveless piezoelectric pump with variable cross section Y-shape tubes

对压电振子施加交变电压,其将产生振动,从而引起泵腔容积周期性变化,带动腔内液体运动,此时变截面“Y”型流管起到了阀的功能。当压电振子上下往复运动时,泵腔容积交替增大或减小,泵腔两端的变截面“Y”型流管A,B同时吸入或排出液体。由于流体沿变截面“Y”型流管正向和反向流动时,所受流阻不等,即当流体在变截面“Y”型流管中流动时,合管3的端口作为输入口、两支管1,2的端口作为输出口(定义为正向流)与合管3的端口作为输出口、两支管1,2的端口作为输入口(定义为反向流)的流动阻力是不同的,从而在宏观上使液体朝单一方向运动。

## 2 流管流阻与泵流量分析

流体在流经变截面“Y”型流管时会克服局部阻力和沿程阻力,从而产生压强损失。根据图1和Bernoulli方程可知,当流体沿正向分流时,合管3到分叉管1的压强损失为

$$\Delta P_{3,1} = P_3 + \frac{\rho}{2} v_3^2 - (P_1 + \frac{\rho}{2} v_1^2) \quad (1)$$

合管3到分叉管1的压强损失系数为

$$K_{3,1} = \frac{P_3 + \frac{\rho}{2} v_3^2 - (P_1 + \frac{\rho}{2} v_1^2)}{\frac{\rho}{2} v_3^2} \quad (2)$$

该损失系数包括沿程阻力和局部阻力的压强损失系数。

同理,合管3到分叉管2的压强损失系数为

$$K_{3,2} = \frac{P_3 + \frac{\rho}{2} v_3^2 - (P_2 + \frac{\rho}{2} v_2^2)}{\frac{\rho}{2} v_3^2} \quad (3)$$

根据文献[12]可得出变截面“Y”型流管的分流压强损失系数为

$$K_D = \frac{Q_1}{Q_3} K_{3,1} + \frac{Q_2}{Q_3} K_{3,2} \quad (4)$$

当流体沿反向合流时,分叉管1到合管3的压强损失系数为

$$K_{1,3} = \frac{P_1 + \frac{\rho}{2} v_1^2 - (P_3 + \frac{\rho}{2} v_3^2)}{\frac{\rho}{2} v_3^2} \quad (5)$$

分叉管2到合管3的压强损失系数为

$$K_{2,3} = \frac{P_2 + \frac{\rho}{2} v_2^2 - (P_3 + \frac{\rho}{2} v_3^2)}{\frac{\rho}{2} v_3^2} \quad (6)$$

变截面“Y”型流管的合流压强损失系数为

$$K_M = \frac{Q_1}{Q_3} K_{1,3} + \frac{Q_2}{Q_3} K_{2,3} \quad (7)$$

对圆形压电振子施加正弦电压产生上下振动,使泵腔容积变化,以驱动腔内流体的运动。当驱动频率一定时,压电振子振型曲面近似为旋转抛物面,最大振幅出现在压电振子的中心。设压电振子半径为R,最大振幅为w<sub>0</sub>,该振型可表示为

$$w(r) = w_0(1 - r^2/R^2) \quad (8)$$

得到压电振子从平衡位置运动到最大位置时的泵腔容积变化量ΔV<sub>max</sub>为

$$\Delta V_{\max} = 2\pi \int_0^R w(r) r dr \quad (9)$$

根据文献[6]可知,在压电振子振动频率为f时,压电泵的流量可以近似表达为

$$Q = 2\Delta V_{\max} f \frac{\eta - 1}{\eta + 1} \quad (10)$$

$$\eta = \sqrt{K/K'} \quad (11)$$

由式(11)可知,当K≠K'时,则泵的流量Q≠0,从而使流体在宏观上产生单一方向的流动。由于流管的压强损失系数难以用解析方法得到,因此本研究通过有限元软件对单支变截面“Y”型流管进行模拟分析,以确定该流管的损失系数,证明变截面“Y”型流管具有阀的特性。

## 3 模拟分析

建立变截面“Y”型流管几何模型。支管夹角2θ=60°,α=β=8°,其他参数如表1所示。

表1 变截面“Y”型流管几何参数

Tab. 1 Geometrical parameters of variable cross section Y-shape tube

$a/\text{mm}$	$h/\text{mm}$	$l/\text{mm}$	$L/\text{mm}$
2	2	10	20

将所建立的模型导入有限元软件中,选用水为模拟介质,定义流管两端为压强载荷。无阀压电泵中压电振子的振动为微幅振动,引起泵腔内流体的流动可认为是层流,则流管两端面施加的压强差值不能过大。通过对流管流场的模拟计算,得到沿分流和合流方向流动时变截面“Y”型流管进出口端的平均速度。将其代入式(2~4)中,求出在一定压降下的压强损失系数。

图3为 $\Delta p=10 \text{ Pa}$ 时,变截面“Y”型流管内流体分流和合流的压强分布云图与速度流线图。

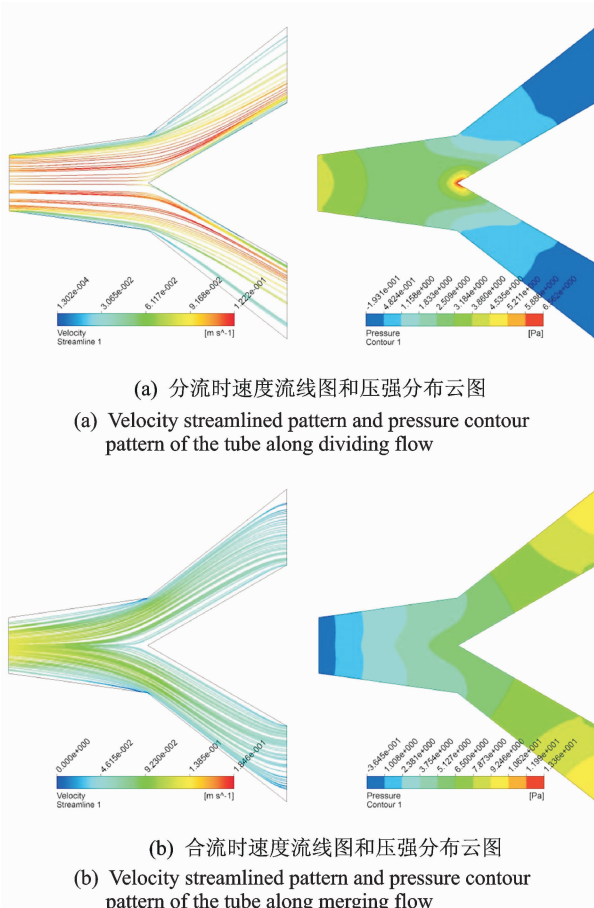


图3  $\Delta p=10 \text{ Pa}$ 时,变截面“Y”型流管分流和合流时速度流线图和压强分布云图

Fig. 3 Velocity streamlined patterns and pressure contour patterns of the tube, when  $\Delta p=10 \text{ Pa}$

图4为分流和合流时,变截面“Y”型流管压强损失系数与压降关系曲线。

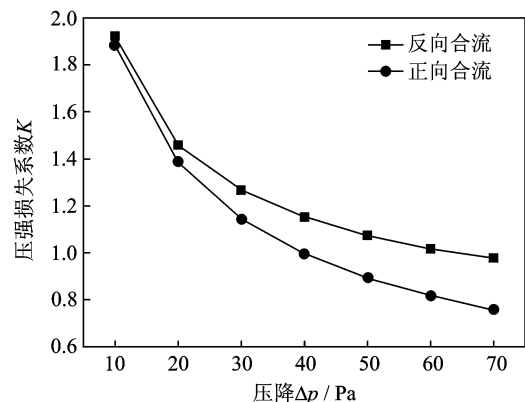


图4 变截面“Y”型流管正反向流压强损失系数与压降关系曲线

Fig. 4 The curves between pressure drop and pressure loss coefficient of the tube along dividing flow and merging flow

模拟结果表明,随着压降的增加,沿变截面“Y”型流管分流和合流方向的压强损失系数逐渐减小,且分流时的损失系数小于合流时的损失系数。可知,流管分合流的压强损失系数比值均大于1,由此可证明变截面“Y”型流管具有阀的特性。

## 4 试验验证

图5为实际制作的变截面“Y”型流管无阀压电泵样机的泵体部分,其流管的几何参数和模拟计算参数一致,泵腔直径为48 mm。本研究采用的压电振子基底层材质为黄铜,其半径为25 mm,厚度为0.2 mm。压电陶瓷层半径为15 mm,厚度为0.2 mm。图6为泵流量测量试验图。试验驱动电压为100 V,采用的流体为去离子水,通过改变压电振子的驱动频率来测量单位时间内压电泵的质量流,从

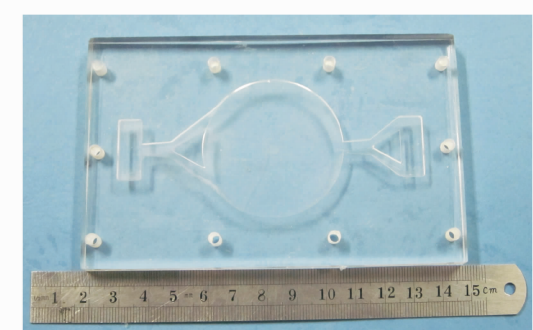


图5 变截面“Y”型流管无阀压电泵泵体

Fig. 5 The photograph of the valveless piezoelectric pump with variable cross section Y-shape tubes

而得出该压电泵在100 V电压下流量随频率变化曲线,如图7所示。



图6 泵流量测试图

Fig. 6 Set-up of flow rate experiment

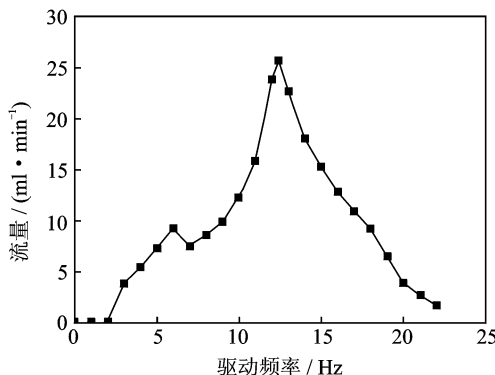


图7 压电泵流量与驱动频率曲线图

Fig. 7 The curve between the flow rate and the driving frequency

试验可得,当频率为12.4 Hz时,该泵的流量达到最大为25.7 ml/min。由图7可知,当压电振子驱动频率由0 Hz开始增加时,压电泵的流量随之增大;当频率达到12.4 Hz时,流量最大;之后随着频率的增加,流量随之减少。

当试验频率为12.4 Hz时,改变压电振子的驱动电压,得到该泵的流量与电压曲线如图8所示。该图表明压电泵的流量随电压增加而增加。当电压为200 V时,该泵流量达到41.6 ml/min。

该组试验表明了变截面“Y”型流管压电泵的有效性,证明了变截面“Y”型流管具有正反向流动流阻不等的特性。

## 5 结 论

1) 分析了变截面“Y”型流管无阀压电泵的工作原理。对变截面“Y”型流管正反向流动的压强损失系数进行了理论分析,并结合压电振子的振型表达式,对变截面“Y”型流管无阀压电泵的流量进行

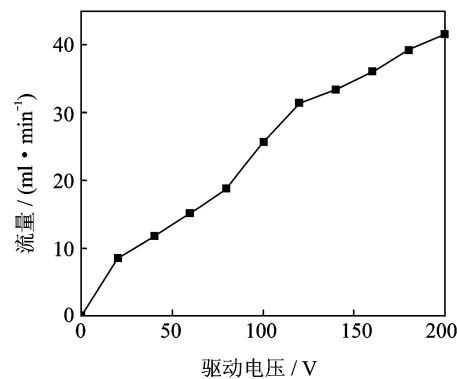


图8 压电泵流量与驱动电压曲线

Fig. 8 The curve between the flow rate and the driving voltage

了理论分析。

2) 采用有限元法对变截面“Y”型流管进行了模拟仿真,得到了不同压降下流管正反向流的压强损失系数。结果表明,该流管具有阀的特性。

3) 实际制作了变截面“Y”型流管无阀压电泵,并对该泵的流量进行了测量。试验结果表明:使用定压100 V改变频率,当频率为12.4 Hz时,最大流量达到25.7 ml/min;使用定频12.4 Hz改变电压,当电压为200 V时,最大流量为41.6 ml/min。这个结果证明了变截面“Y”型流管无阀压电泵的有效性,也证明了变截面“Y”型流管具有正反向流动流阻不等的特性。

## 参 考 文 献

- [1] 黄毅,成伟,张建辉,等.非对称坡面腔底无阀压电泵流场分析[J].振动、测试与诊断,2010,30(3):295-299.  
Huang Yi, Cheng Wei, Zhang Jianhui, et al. Analysis of flow field of piezoelectric pump with unsymmetrical slopes element[J]. Journal of Vibration, Measurement & Diagnosis, 2010,30(3):295-299. (in Chinese)
- [2] 胡笑奇,张建辉,黄毅.仿尾鳍压电双晶片无阀泵的模拟与试验[J].振动、测试与诊断,2011,31(2):193-197.  
Hu Xiaoqi, Zhang Jianhui, Huang Yi. Simulation and design of caudal-fin-type valveless pump driven by piezoelectric bimorphs[J]. Journal of Vibration, Measurement & Diagnosis, 2011,31(2):193-197. (in Chinese)
- [3] Stemme E, Stemme G. A valve-less diffuser/nozzle-based fluid pump[J]. Sensors and Actuators A, 1993,

- 39(12):159-167.
- [4] Gerlach T. Microdiffusers as dynamic passive valves for micropump applications[J]. Sensors and Actuators A, 1998, 69:181-191.
- [5] Forster F K, Bardell R L, Afromowitz M A, et al. Design, fabrication and testing of fixed-valve micropumps[C]//Proceedings of the ASME Fluids Engineering Division. San Francisco: ASME Fluids Engineering Division, 1995, 234:39-44.
- [6] 张建辉,黎毅力,夏齐霄.“Y”形流管无阀压电泵流量及流管流阻特性分析[J].机械工程学报,2007,43(11):136-141.  
Zhang Jianhui, Li Yili, Xia Qixiao. Analysis of the pump volume flow rate and tube property of the piezoelectric valveless pump with Y-shape tubes[J]. Chinese Journal of Mechanical Engineering, 2007, 43 (11):136-141. (in Chinese)
- [7] Xia Qixiao, Zhang Jianhui, Lei Hong, et al. Analysis on flow field of the valveless piezoelectric pump with two inlets and one outlet and a rotating unsymmetrical slopes element[J]. Chinese Journal of Mechanical Engineering, 2012, 25(3):474-483.
- [8] 夏齐霄,张建辉,李洪,等.非对称坡面腔底无阀压电泵[J].光学精密工程,2006,14(4):641-647.  
Xia Qixiao, Zhang Jianhui, Li Hong, et al. Valve-less piezoelectric pump with unsymmetrical slope chamber bottom[J]. Optics and Precision Engineering, 2006, 14 (4):641-647. (in Chinese)
- [9] Xia QiXiao, Zhang JianHui, Lei Hong, et al. Theoretical analysis of novel valveless piezoelectric pump with cluster of unsymmetrical hump structure[J]. Optics and Precision Engineering, 2008, 16 (12): 2391-2397.
- [10] Xia Qixiao, Zhang Jianhui, Lei Hong, et al. Theoretical analysis and experimental verification on flow field of piezoelectric pump with unsymmetrical slopes element[J]. Chinese Journal of Mechanical Engineering, 2009, 22(5):735-744.
- [11] 何秀华,王健,杨嵩,等.三通全扩散/收缩管无阀压电泵的流阻性能[J].排灌机械工程学报,2010,28(6):497-501.  
He Xiuhua, Wang Jian, Yang Song, et al. Flow resistance characteristics of valveless piezoelectric pump with three-way diffuser/nozzle tube[J]. Journal of Drainage and Irrigation Machinery Engineering, 2010, 28(6):497-501. (in Chinese)
- [12] Oka K, Nozaki T, Ito H. Energy losses due to combination flow at tees[J]. Japan Society Mechanical Engineering, 1996, 39(3):489-498.



**第一作者简介:**黄俊,男,1981年2月生,博士研究生。主要研究方向为压电型微流体作动器的研究及流固耦合仿真分析。

E-mail: huangjun551@nuaa.edu.cn

